

홀로그래픽 데이터 저장 시스템을 위한 동적 임계값 방법

Dynamic thresholding method for holographic data storage system

최안식, 조재현, 백운식

경희대학교 전자정보학부

wsbaek@khu.ac.kr

21세기 고도 정보화 사회에서는 대용량 멀티미디어 정보를 저장·복원하는 초대용량, 초고속 저장시스템이 요구되어지고 있다. 이러한 요구에 부합되는 유망한 저장 시스템이 홀로그래픽 데이터 저장시스템이다.⁽¹⁾ 홀로그래픽 저장장치의 데이터 흐름을 5개 부분으로 나누어 볼 수 있는데⁽²⁾, 그 5개 부분중 이진판별(binary decision)은 홀로그래픽 데이터 저장시스템에서 데이터가 2차원 페이지 형태로 저장·복원되는 과정에서 2차원 페이지상의 빔 세기의 불균일 분포, 잡음 그리고 홀로그램의 지워짐 등의 현상 때문에 어려움이 야기된다. 이 문제점을 완화하는 방법으로써 CCD로 검출된 영상에 대해 히스토그램을 계산하고, 동적 범위(dynamic range)를 확장하여 임계값을 설정하는 방법이 소개되었다.⁽³⁾ CCD로 검출된 데이터를 이진화하는 과정은 global thresholding, parity thresholding, modulation decoding 등에 의해 이루어지는데^(2,4), 동적 임계값 방법은 BER 성능면에서는 parity thresholding이나 modulation decoding에 비해 못하지만, 두 방법에서 요구되어지는 여분비트의 추가가 없는 장점이 있다. 그래서 본 논문에서는 global thresholding과 동적 임계값 방법을 적용한 경우에 대한 BER 성능을 측정하고자 한다.

실험에서 사용한 광원은 Coherent사의 출력이 100mW인 Diode-pumped Nd:YAG 레이저($\lambda = 532\text{nm}$), 데이터의 입력은 CRL사의 SLM(1024 $\times 768$ pixels)을 사용하였으며, 영상 출력은 Sony사의 CCD(768 \times 494 pixels) 카메라로 측정하였다. 기록은 신호빔과 기준빔이 직각으로 입사되는 90° 구조를 사용하였으며, 저장물질은 Deltronics사의 Fe가 0.03 mole% 도핑된 체적 1cm³ 크기의 LiNbO₃를 사용하였고, 각 다중화는 Cambridge사의 galvanometric mirror를 이용하여 0.02° 간격으로 다중화 하였다. 또한 기록시 기준빔과 신호빔의 세기는 LiNbO₃ 광굴절 결정에 입사하기 직전에 측정한 값을 기준으로 기준빔은 29.3mW이고 신호빔은 0.21mW로 측정되었다. 그림 1에 본 실험의 시스템 구성도를 나타내었다.

그림 2는 그림 1의 시스템에서 SLM:CCD가 1:4 oversampling된(120 \times 100 pixels) 5개의 출력영상과 결과의 신뢰성을 위해 대우전자의 홀로그래픽 데이터 저장 그룹에서 제공해준 픽셀 매칭된(320 \times 320 pixels) 5개의 출력영상의 일부분을 나타내었으며, oversampling과 픽셀 매칭된 CCD 출력영상에 대해 global thresholding과 동적 임계값 방법을 적용한 경우의 히스토그램과 BER 분포를 살펴본 결과가 그

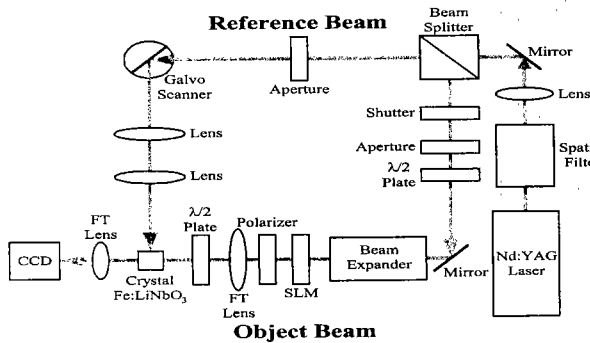


그림 1. 실험 구성도

TC

림 3과 4에 나타나있다. 실험결과로부터 global thresholding보다 동적 임계값 방법을 적용한 경우 BER 성능이 우수함을 볼 수 있었으며, 임계값 선택에 따른 BER 분포가 global thresholding에서는 급격히 변하는데 반하여 동적 임계값 방법에서는 완만하게 변함을 확인할 수 있었다.

[참고문헌]

- [1] D. Psaltis and G. W. Burr, Computer, vol. 32, pp. 52~60 (1998).
- [2] G. W. Burr and J. Ashley et al., SPIE, vol. 3468, pp. 64~75 (1998).
- [3] C. P. Yang and S. H. Lin et al., International Journal of High Speed Electronics and Systems, vol. 8, pp. 175~191 (1997).
- [4] G. W. Burr and B. Marcus, SPIE, vol. 3802, pp. 18~29 (1999).

* 본 연구는 산업자원부 차세대 대용량 정보저장장치개발 사업의 부분적인 결과임.

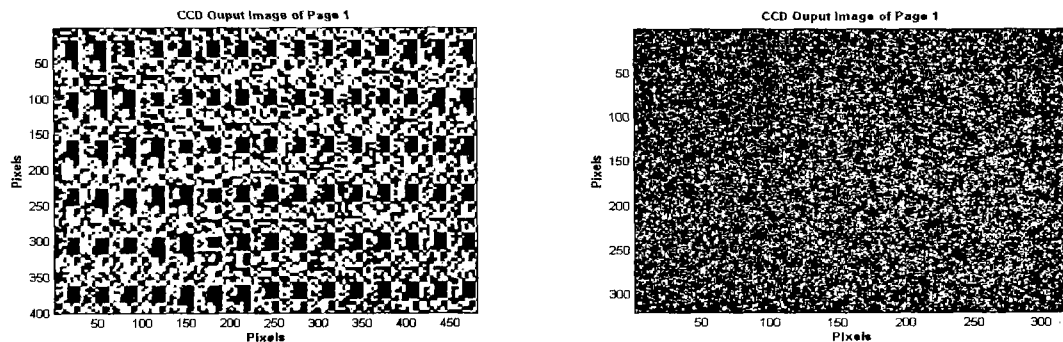


그림 2. Oversampling과 꽈셀 매칭된 CCD 출력영상

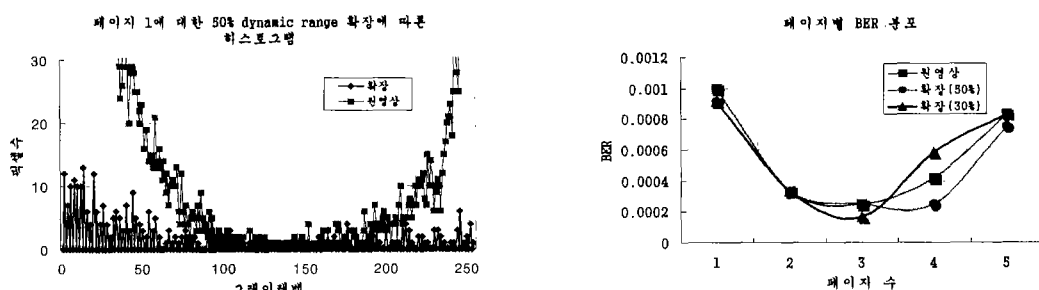


그림 3. Oversampling된 출력영상에 대해 동적 범위의 확장을 통한 히스토그램 및 BER 분포

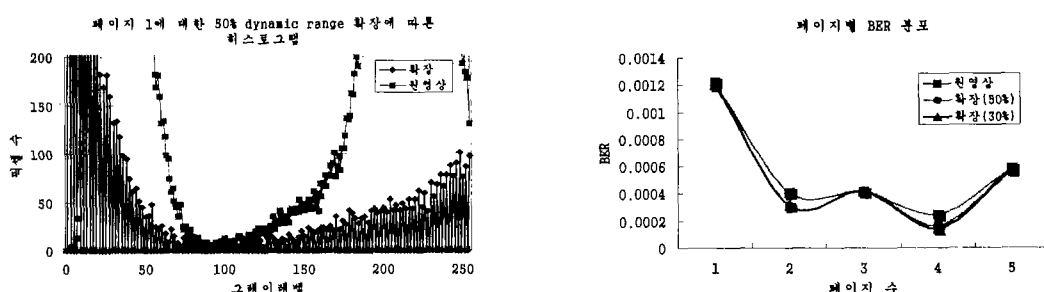


그림 4. 꽈셀 매칭된 출력영상에 대해 동적 범위의 확장을 통한 히스토그램 및 BER 분포